

Figura 1. Sección geológica ilustrando características típicas de algunas zonas montañosas de Colombia. Note el estrato superior de alta velocidad.

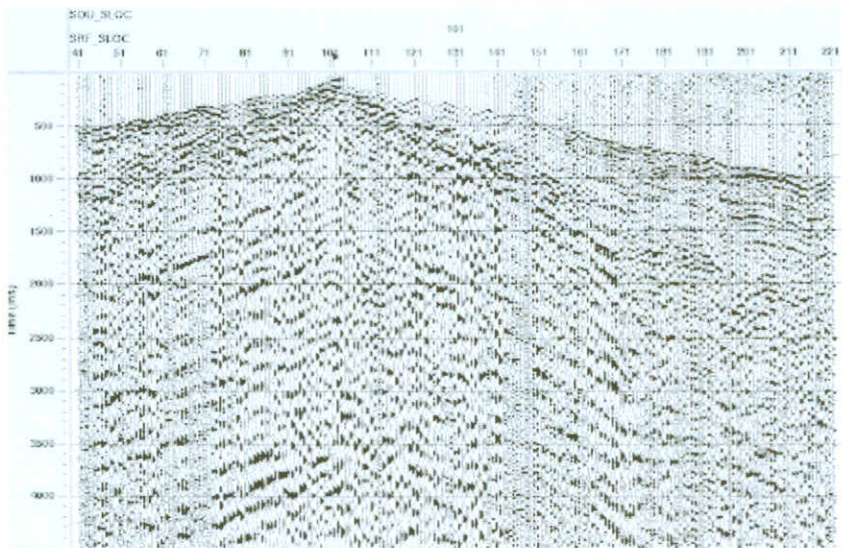


Figura 2a. Ejemplo de un registro de disparo que ilustra las características de los registros de disparo en zonas con afloramientos de alta velocidad. La coordenada vertical corresponde a tiempos de arribo y la horizontal a localizaciones de los geófonos en la superficie del terreno.

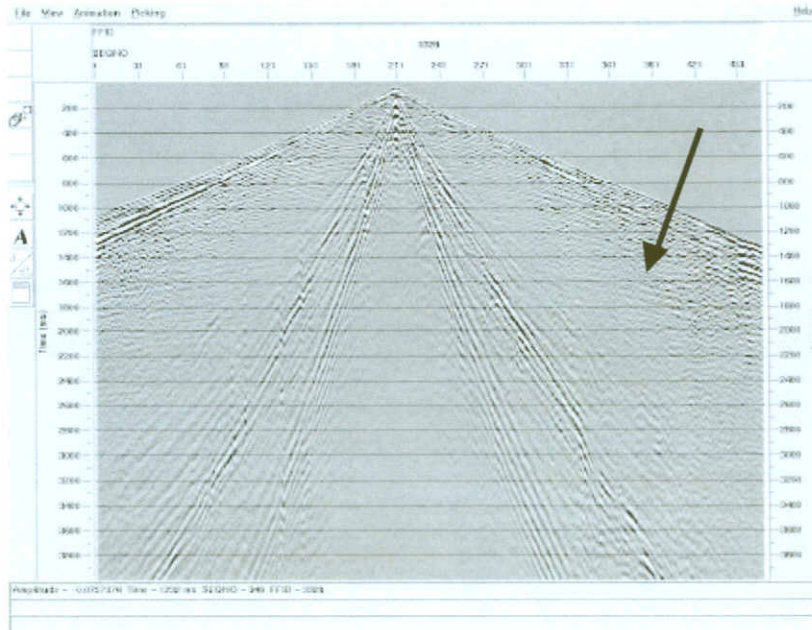


Figura 2b. Registro de disparo en una zona no compleja. La Flecha señala la reflexión proveniente de reflectores de interés.

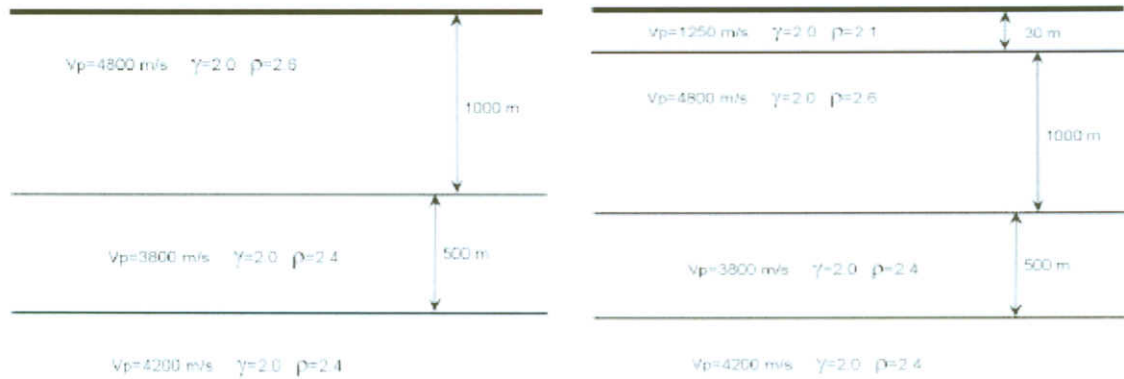


Figura 3. Modelo geológico A, con el afloramiento de un estrato de alta velocidad.

Figura 4. Modelo geológico B con una capa somera de baja velocidad sobre un estrato de alta velocidad.

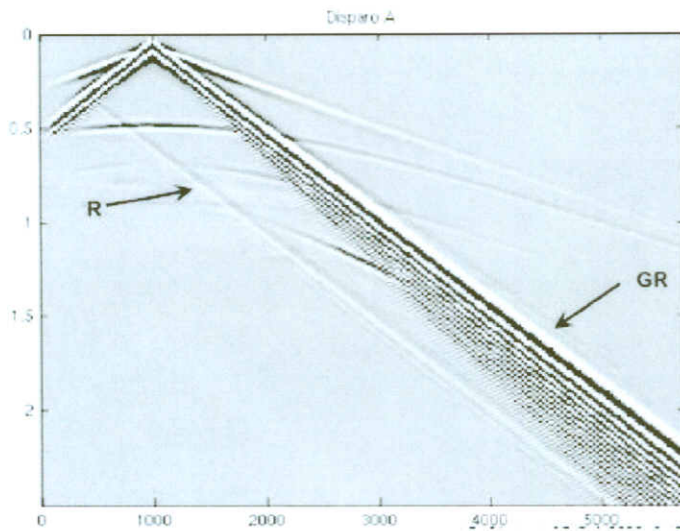


Figura 5a Resultados del modelamiento de diferencias finitas sobre el modelo A. Obsérvese que las reflexiones se distinguen fácilmente.

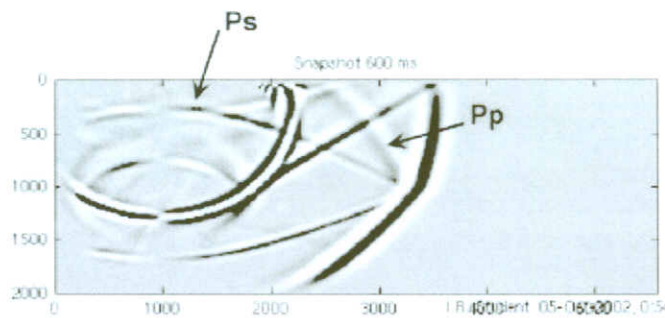


Figura 5b. Instantánea o snapshot de la propagación de las ondas a través del modelo A para un tiempo de 0.6 segundos.

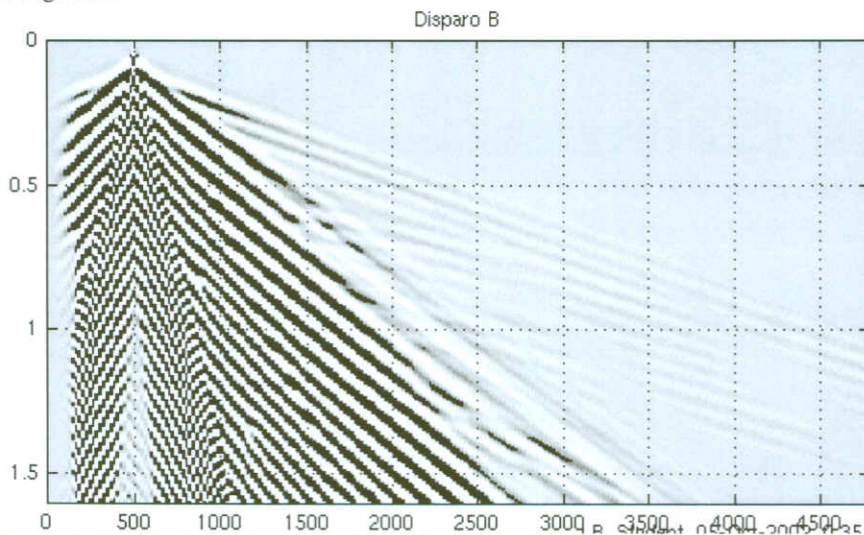


Figura 6a Resultados del modelamiento de diferencias finitas sobre el modelo B. Obsérvese la dificultad para distinguir las reflexiones y la presencia de varios eventos que interfieren (ruido).

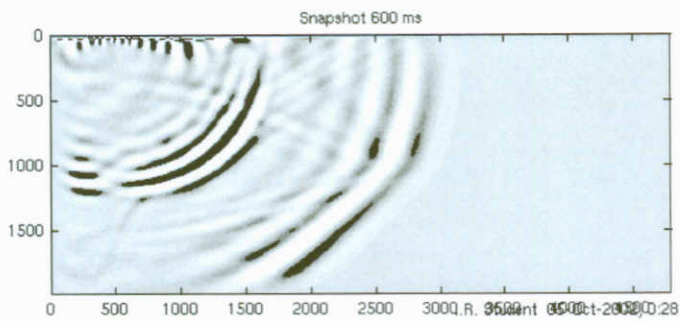


Figura 6b. Instantánea o snapshot de la propagación de las ondas a través del modelo B para un tiempo de 0.6 segundos.

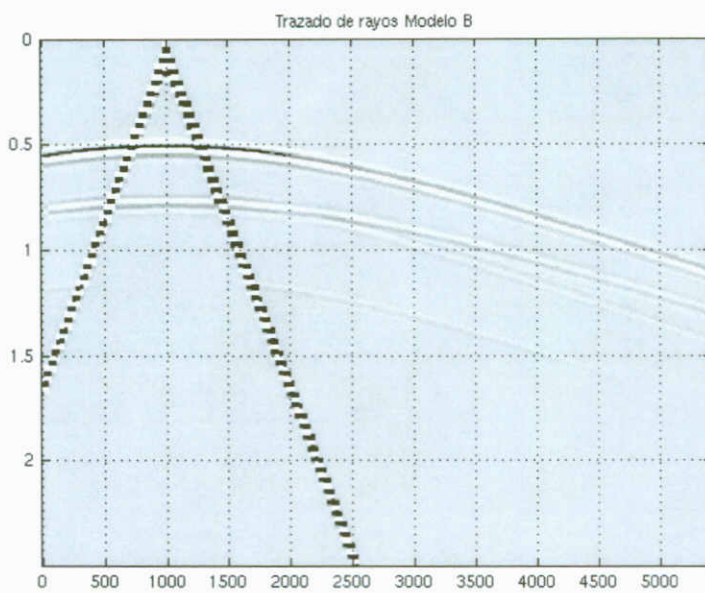


Figura 7. Resultado del modelamiento con trazado de rayos en el modelo B. Sólo aparecen las reflexiones provenientes de los estratos de interés y arribos directos.

